

APROXIMAÇÕES ANALÍTICAS PARA OS NÍVEIS DE ENERGIA DO POÇO DE POTENCIAL: $V(x) = \frac{1}{2} |x|^v$ ($v > 0$)

ANANIAS M. MARIZ*

Centro Brasileiro de Pesquisas Físicas, RJ

P. MURILO OLIVEIRA

Instituto de Física, Universidade Federal Fluminense

RESUMO

Apresentamos duas aproximações analíticas (W.K.B. e Turschner) que podem ser usadas para calcular os níveis de energia do potencial: $V(x) = \frac{1}{2} |x|^v$ ($v > 0$).

Uma comparação entre estas propostas é feita, nos casos particulares em que uma solução exata é disponível, através de fórmulas analíticas ($v = 0, 2, \infty$) ou de cálculos numéricos de alta precisão ($v = 4, 8$). As funções de onda do estado fundamental (onde as aproximações possuem maior discrepância) são obtidas numericamente para valores típicos de v .

Resultados obtidos para o calor específico a altas temperaturas, mostram que estas aproximações predizem diferentes correções quânticas aos valores clássicos das grandezas térmicas do sistema.

INTRODUÇÃO

Uma das características básicas da Mecânica Quântica, é que devido à sua complexidade operacional, a obtenção de resultados exatos é uma tarefa árdua, que tem tido um sucesso relativamente modesto, se levarmos em conta o enorme esforço intelectual feito desde o advento desta teoria.

O cálculo exato dos níveis de energia da maioria dos sistemas quânticos é ainda desconhecido. Em particular, aqueles descritos pelo potencial:

$$V(x) = \frac{1}{2} |x|^v \quad (v > 0) \quad (1)$$

Esta classe de potenciais é de enorme interesse físico, pois contém inúmeros sistemas, encontrados em diversos ramos da física (Fi

*Endereço permanente: Departamento de Física, Universidade Federal do Rio Grande do Norte, Natal, RN.

gura 1).

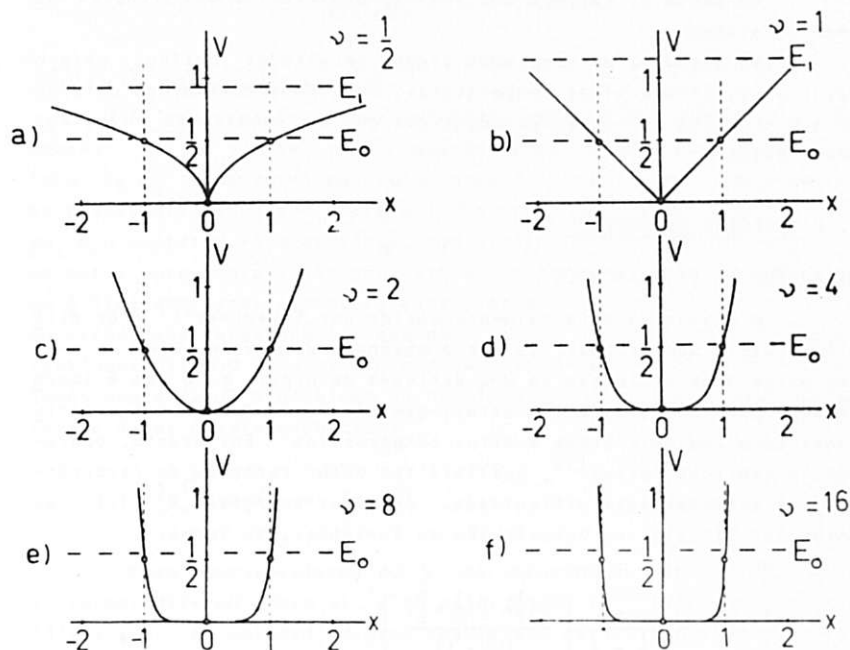


Figura 1 - Gráfico do potencial $V(x) = \frac{1}{2} |x|^\nu$ para diversos valores de ν .

Soluções exatas são conhecidas somente nos casos de uma partícula livre ($\nu \rightarrow 0$), do oscilador harmônico simples ($\nu=2$) e do poço quadrado infinito ($\nu \rightarrow \infty$).

Para outros valores de ν , que representam osciladores de α harmonicidade generalizada, somente aproximações numéricas existem, para alguns valores de ν ($\nu = 4, 6, 8$).

Neste trabalho nós apresentamos duas aproximações analíticas para os níveis de energia desta classe de potenciais, válidas para qualquer valor do expoente ν .

A primeira é a aproximação W.K.B. (Wentzel-Kramers-Brillouin), já conhecida e discutida na maioria dos textos básicos de Mecânica Quântica^[1]. A segunda é uma proposta recentemente estabelecida por H. Turschner^[2], que foi analisada e comparada com a aproximação W.K.B. em trabalho posterior^[3], tendo-se mostrado bastante superior àquela.

Na Seção I nós exibimos as duas propostas e apresentamos a

guns valores típicos para os níveis de energia.

Na Seção 2, fazemos uma análise qualitativa das funções de onda do sistema.

Na Seção 3, apresentamos alguns resultados obtidos para o calor específico a altas temperaturas, onde as aproximações diferem no que concerne às correções quânticas que os resultados clássicos devem exibir.

1. O ESPECTRO ENERGÉTICO

a) A FÓRMULA DE TURSCHNER

A expressão originalmente obtida por Turschner^[2] é de difícil manuseio operacional, já que a obtenção do n -ésimo nível de energia exige a determinação de uma derivada de ordem n , o que é impraticável para energias muito altas, que são fundamentais nas propriedades térmicas do sistema a altas temperaturas. Entretanto, operações algébricas feitas^[3], possibilitam obter relações de recorrência que eliminam esta dificuldade. Assim as energias $E_n^{(T)}(v)$ do potencial (1) são, na aproximação de Turschner, da forma:

$$E_0^{(T)}(v) = \frac{1}{\frac{1}{2} + \lambda} \left[\frac{\Gamma(\frac{1}{2}) \Gamma(\frac{1}{v} + \frac{3}{2})}{\Gamma(\frac{1}{v} + 1)} \right]^\lambda \Gamma(1+\lambda) \quad (2)$$

$$E_1^{(T)}(v) = (2\lambda+1) E_0^{(T)}(v) \quad (3)$$

$$E_n^{(T)}(v) = \frac{1}{n} \left[(2\lambda+1) E_{n-1}^{(T)}(v) + (n-1) E_{n-2}^{(T)}(v) \right] \quad n = 2, 3, \dots \quad (4)$$

onde

$$\lambda = \frac{2v}{v+2} \quad 0 < \lambda < 2 \quad (5)$$

e $\Gamma(\lambda)$ é a função gama (a generalização do fatorial).

b) A FÓRMULA W.K.B.

A aproximação W.K.B., adequada ao potencial (1) é da forma^[3]:

$$E_n^{(\omega)}(v) = \frac{2^\lambda (n + \frac{1}{2})^\lambda}{\Gamma(\lambda + 1)} E_0^{(T)}(v) \quad (6)$$

onde $E_0^{(T)}(v)$ é dado por (2).

As aproximações acima coincidem somente nos casos em que são exatas: (i) No limite $v \rightarrow 0$, quando temos um poço quadrado de altura $V_0 = \frac{1}{2}$ constante, mas cuja largura tende a zero. Neste caso os níveis discretos com energia inferior a V_0 , são expulsos do poço, e o espectro fica contínuo, com limite inferior $E_0 = V_0 = \frac{1}{2}$. Como estas aproximações são para estados discretos (cuja função de onda é limitada espacialmente), elas predizem corretamente que o único estado que permanece é o que dá o limite inferior dos estados do contínuo; (ii) O caso $v=2$, onde ambas as aproximações são exatas. Temos neste caso, o problema do oscilador harmônico simples, cujo espectro é por demais conhecido:

$$E_n^{(e)}(v=2) = (n + \frac{1}{2}) \quad (7)$$

Para outros valores de v , as aproximações de W.K.B. e de Turschner diferem entre si, e do valor exato ($E_n^{(e)}(v)$) dos níveis de energia. No entanto, alguns resultados gerais têm sido observados: (i) Para um dado v , as aproximações possuem maior discrepância com o valor exato para o estado fundamental ($n=0$) diminuindo esta diferença nos níveis excitados; (ii) Para um mesmo valor de n (número quântico da energia) as aproximações diferem mais significativamente do valor exato quando v cresce. A situação mais desfavorável é o caso $v \rightarrow \infty$ ($\lambda=2$), onde o potencial (1) torna-se um poço infinito de largura $\frac{2}{v}$ cujos níveis de energia são conhecidos e dados pela expressão [1]:

$$E_n^{(e)}(v \rightarrow \infty) = \frac{\pi^2}{8} (n+1)^2 \quad (n = 0, 1, 2, \dots) \quad (8)$$

As aproximações mencionadas fornecem os resultados:

$$E_n^{(T)}(v \rightarrow \infty) = \frac{\pi^2}{8} (n^2 + n + \frac{1}{2}) \quad (9)$$

$$E_n^{(\omega)}(v \rightarrow \infty) = \frac{\pi^2}{8} (n^2 + n + \frac{1}{4}) \quad (10)$$

O erro mais significativo ocorre no estado fundamental do poço qua-

drado infinito, onde:

$$E_0^{(T)}(v+\infty) = \frac{E_0^{(e)}(v+\infty)}{2} \quad (11)$$

$$E_0^{(\omega)}(v+\infty) = \frac{E_0^{(e)}(v+\infty)}{4} \quad (12)$$

Em todos os casos examinados [3] a aproximação de Turschner fornece valores mais próximos aos exatos que a W.K.B.. Para uma comparação ver Tabela 1.

v	n	W.K.B.	TURSCHNER	EXATO
2	0	0.5	0.5	0.5
	1	1.5	1.5	1.5
	2	2.5	2.5	2.5
4	0	0.433573	0.516229	0.530181 ⁽⁵⁾
	1	1.875961	1.892839	1.899837 ⁽⁵⁾
	2	3.706996	3.728318	3.727849 ⁽⁵⁾
8	0	0.380968	0.544641	0.612911 ⁽⁵⁾
	1	2.209441	2.287492	2.377909 ⁽⁵⁾
	2	5.003113	5.076054	5.122494 ⁽⁵⁾
∞	0	0.308425	0.616850	1.233701
	1	2.775826	3.084251	4.934802
	2	7.710628	8.019054	11.103305

TABELA 1 - Energia dos três primeiros níveis para diversos valores de \underline{v} . [Por simplicidade adotamos neste trabalho $\hbar=m=1$ (onde \hbar é a constante de Planck e m é a massa da partícula)].

2. AS FUNÇÕES DE ONDA

Um exame da Fig. 1 nos mostra que para grandes valores de $|x|$ ($v \neq 0$) o potencial $\underline{V(x)}$ cresce indefinidamente, o que significa que só existem estados ligados. O potencial $\underline{V(x)}$ tende a infinito mais rapidamente para maiores valores de v , indicando que quando \underline{v} cresce, as funções de onda devem ser mais localizadas, pois a probabilidade de encontrarmos a partícula longe da origem deve tender acentuadamente a zero para grandes valores de \underline{v} .

Utilizamos um método numérico simples^[4] para calcularmos as funções de onda do estado fundamental (onde as aproximações têm um erro maior em relação ao valor exato) para valores típicos de v . O gráfico destas funções estão exibidos nas Figuras 2, 3 e 4. Na opinião dos autores a observação destes gráficos é um excelente exemplo para estudantes que iniciam o aprendizado de Mecânica Quântica a nível semi-quantitativo, bem como a obtenção de outras funções de onda, para níveis mais excitados. Uma análise da precisão do método e de sua sensibilidade à utilização de valores aproximados para os níveis de energia, não é feita neste trabalho, pois entendemos ser este um exercício elementar que pode ser estimulante para iniciantes.

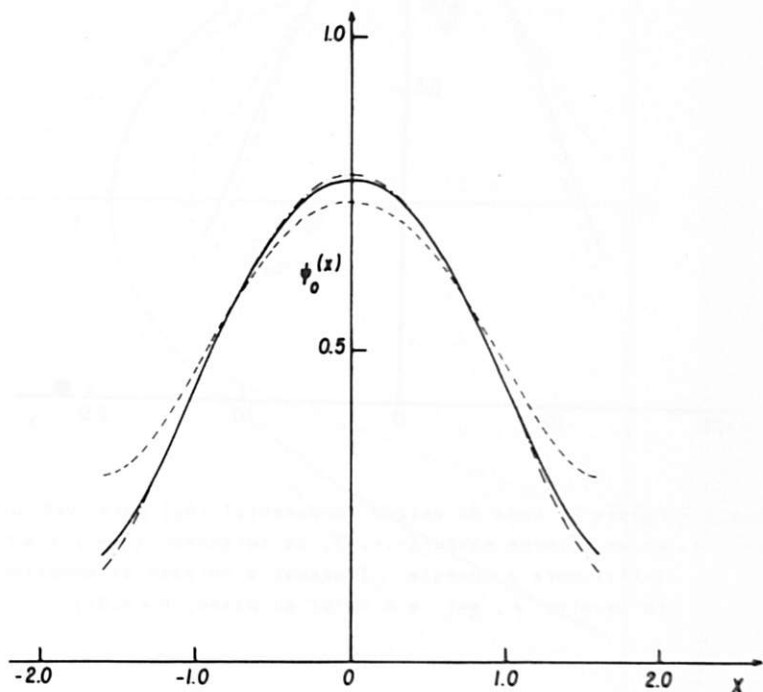


Figura 2 - Função de onda do estado fundamental (ψ_0) para $v=4$ usando os valores exato (-.-.-), de Turschner (—) e W.K.B. (---) para a energia. [Fazemos a unidade de comprimento no eixo x , $a=1$ e o valor do passo, $H=0.05$].

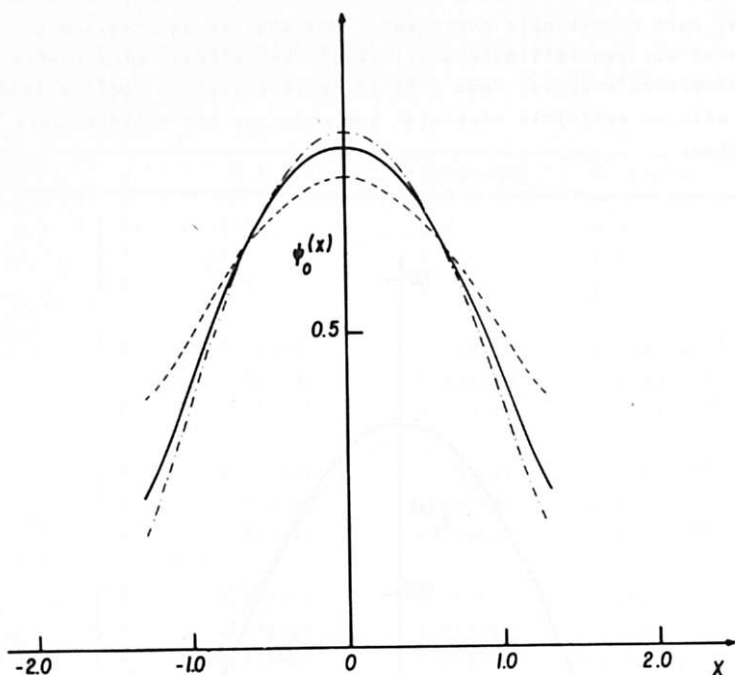


Figura 3 - Função de onda do estado fundamental (ψ_0) para $\nu=8$ usando os valores exato (-.-.-), de Turschner (—) e W.K.B. (----) para a energia. [Fazemos a unidade de comprimento no eixo x , $\underline{a}=1$ e o valor do passo, $H=0.05$].

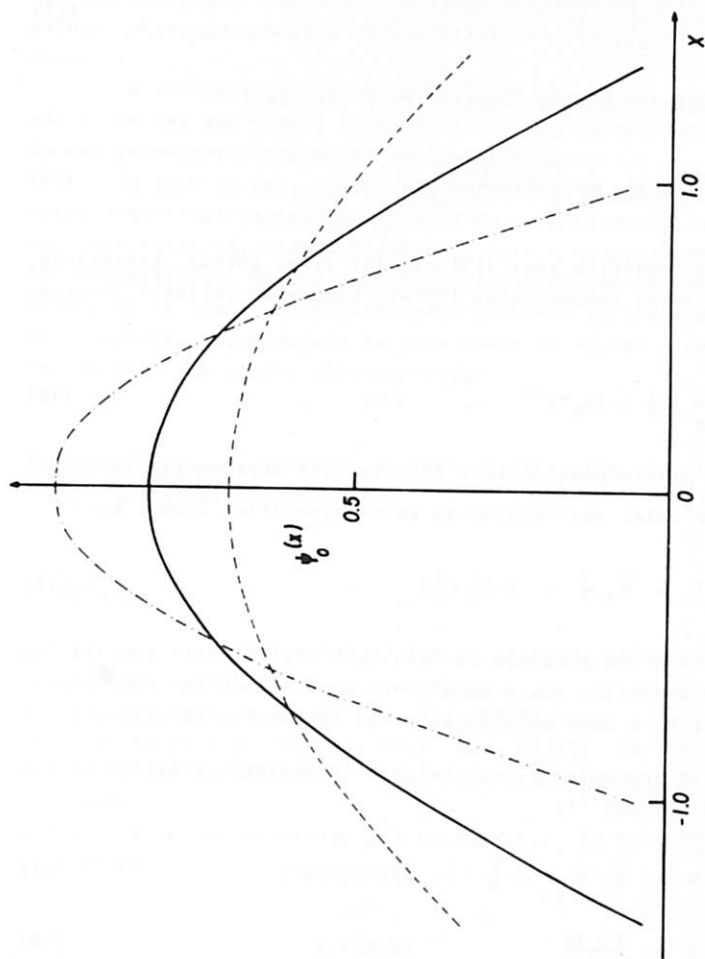


Figura 4 - Função de onda do estado fundamental (ψ_0) para $v \rightarrow \infty$ usando os valores exatos (---), de Turschner (—) e W.K.B. (-·-·-) para a energia. [Fazemos a unidade de comprimento no eixo x , $\bar{a}=1$ e o valor do passo, $H=0.05$].

3. O CALOR ESPECÍFICO

As propriedades térmicas do sistema podem ser conhecidas a partir da função de partição definida por:

$$Z = \sum_{n=0}^{\infty} e^{-E_n(v)/K_B T} \quad (13)$$

Assim, por exemplo, o calor específico é dado por:

$$C = K_B \frac{\partial}{\partial T} \left[T^2 \frac{\partial \ln Z}{\partial T} \right] \quad (14)$$

Uma expressão analítica para (13) não foi ainda obtida. Entretanto, no limite de altas temperaturas ($T \rightarrow \infty$), expansões feitas^[3] mostram que:

$$\frac{C}{K_B} - \frac{1}{\lambda} \sim (K_B T)^{-\alpha} \quad ; \quad \alpha > 0 \quad (15)$$

Dois observações sobre a fórmula (15) merecem ser feitas:

(i) O valor assintótico do calor específico é dado por:

$$C = K_B \frac{1}{\lambda} = K \left(\frac{1}{2} + \frac{1}{\nu} \right) \quad (16)$$

Esta expressão é uma extensão do resultado obtido pelo teorema da equipartição clássico, que é geralmente apresentado em livros textos básicos para o caso particular $\nu=2$ (potencial harmônico).

(ii) O expoente α , determina a 1ª correção quântica ao valor clássico, e vale^[3]:

$$\alpha = \frac{2}{\lambda} = 1 + \frac{2}{\nu} \quad (\text{Turschner}) \quad (17)$$

$$\alpha = \frac{2+3\nu}{\nu} \quad (\text{W.K.B.}) \quad (18)$$

Cálculos realizados para $\nu=4$ ^[3] mostram ser (17) o valor correto.

4. CONCLUSÕES

Acreditamos que uma exposição pedagógica destas aproximações para uma classe de potenciais bastante comum em Física, tem como utilidade principal, familiarizar o estudante a trabalhos com resultados não exatos, e a estabelecer comparações entre diferentes aproximações, situação que será uma constante no trabalho de pesquisa futuro.

A apresentação da aproximação de Turschner, também é necessária, de vez que embora superior à W.K.B., ao contrário desta, ainda não se encontra acessível em livros textos.

O fato de que, apesar das aproximações citadas, somente diferem significativamente nos níveis de menor energia, e apesar disto, predizerem resultados diferentes para o calor específico a altas temperaturas, mostra que ao contrário do que um raciocínio apresado poderia supor, as propriedades térmicas do sistema mesmo a altas temperaturas, dependem da totalidade do espectro energético, e não somente dos níveis mais excitados.

AGRADECIMENTO: Agradecemos ao Prof. Constantino Tsallis pelas valiosas sugestões e comentários.

REFERÊNCIAS

- [1] Ver por exemplo: L. Landau e E. Lifschitz, "Mécanique Quantique", ed. MIR (1966).
- [2] H. Turschner, J. Phys. A12, 451 (1979).
- [3] A.M. Mariz e C. Tsallis, Phys. Rev. A29(5), 2871 (1984).
- [4] P. Murilo Oliveira e S. Costa Ribeiro, Rev. Ens. Fis. 3(2), 3 (1981).
- [5] F.T. Hioe, D. MacMillen e E.W. Montroll, J. Mat. Phys. 17, 1320 (1976).